

بهبود دسترسی زیستی پلیفنل‌های پوست انار با تشکیل کمپلکس الحقی با بتاسیکلودکسترین (β -CD)

سارا کلاتری^۱، لیلا روفه‌گری‌نژاد^۲، سجاد پیرسا^{۳*}، مهدی قره‌خانی^۲

۱- دانشجوی دکتری علوم و صنایع غذایی، واحد تبریز، دانشگاه آزاد اسلامی، تبریز، ایران

۲- استادیار گروه علوم و صنایع غذایی، واحد تبریز، دانشگاه آزاد اسلامی، تبریز، ایران

۳- دانشیار و عضو هیئت علمی گروه علوم و صنایع غذایی دانشگاه ارومیه

(تاریخ دریافت: ۹۸/۰۴/۲۱ تاریخ پذیرش: ۹۸/۰۷/۰۲)

چکیده

با توجه به مشکلات زیست محیطی، ایمنی، سمیت و ویژگی‌های ارگانولپتیکی نامطلوب عصاره‌های استخراجی با حلال‌های آلی استفاده در سیستم‌های غذایی، جایگزینی این روش‌ها با روش‌های بالای استخراج آبی با راندمان بالای استخراج بیش از پیش مورد نیاز است. در مطالعه حاضر کارایی کاربرد هم‌مان محلول آبی بتاسیکلودکسترین (β -CD) و روش اولتراسوند جهت استخراج ترکیبات پلیفنلی غیرفلاؤنونیدی از پوست انار در مقایسه با روش استخراج آبی مورد بررسی قرار گرفت. روش سطح پاسخ جهت بهینه‌سازی شرایط استخراج انجام گرفت. آزمون‌ها بر مبنای طرح Box-Behnken با سه متغیر مستقل شامل دما (۳۰-۷۰ درجه سانتی‌گراد)، زمان (۱۰-۴۰ دقیقه) و غلظت محلول β -CD (۰-۸/۱ درصد) طراحی شدند. شرایط بهینه استخراج، دمای ۷۶/۵۵ درجه سانتی‌گراد، زمان ۳۸/۱۵ دقیقه و غلظت ۸/۱ درصد از β -CD تعیین شد که تحت این شرایط بیشترین میزان ترکیبات پلیفنلی غیرفلاؤنونیدی ۷۷/۷۵ mgGAE/gDW درصد بود. همچنین نتایج آزمون‌های FTIR و SEM نیز صحت تشکیل کمپلکس الحقی مابین ترکیبات پلیفنلی پوست انار و بتاسیکلودکسترین را تایید نمودند. نتایج تحقیق حاضر نشان داد استفاده از محلول β -CD به همراه فرایند اولتراسوند به عنوان یک روش ایمن و کارا می‌تواند جایگزین روش‌های دیگر استخراج جهت بهبود استخراج ترکیباتی با ارزش تغذیه‌ای بالا شود.

کلید واژگان: بتاسیکلودکسترین، اولتراسوند، پوست انار، ترکیبات زیست فعال، ترکیبات فنلی غیرفلاؤنونیدی

* مسئول مکاتبات: s.pirsa@urmia.ac.ir

ضروری به نظر می رسد [۶]. سیکلولدکسترنین ها جزء الیگوساکاریدهای حلقوی شکل می باشند که شامل واحدهای گلوکزی با پیوندهای آلفا ۱ و ۴ گلوکوپیرانوزی هستند که گاهی آنها را دکسترنین های شاردینگر، سیکلولامیلوز یا سیکلولگلوكان نیز می خوانند و اغلب توسط اصلاح آنزیمی (گلیکوزیل ترانسفراز) انواع نشاسته (سیب زمینی، ذرت، برقج) در مقایس صنعتی و با خلوص بالا تولید می شوند و اولین بار از طریق هضم نشاسته با باکتری باسیلوس مارسانس^۱ بدست آمد. این ترکیبات عموما بصورت ایمن (GRAS^۲) شناخته می شوند و به دلیل کارایی شان در تشکیل کمپلکس الحقیقی^۳ با ترکیبات پلی فنلی و افزایش پایداری، حلایت، دسترسی زیستی این ترکیبات در صنایع غذایی بکار برده می شوند [۷]. هر سیکلولدکسترنین دارای شکلی شبیه مخروط ناقص است که ساختار فضایی آن باعث به وجود آمدن سطح آبدوست و حفره آبرگریز می شود که اینحالت منجر به ایجاد کمپلکس الحقیقی می شود [۸]. همچنین بکارگیری روش نوین امواج فرماصوت یکی از مهمترین روش های استحصلال ترکیبات ارزشمند از منابع گیاهی است که نسبت به روش های متداول، دارای کارایی بالاتر، ارزانتر، زمان عصاره گیری و مصرف حلال کمتر می باشد [۹]. استخراج سبز یک روش موثر و سازگار با محیط زیست جهت استخراج ترکیبات طبیعی و با ارزش است [۶]. جایگزینی حلال های آلی با استخراج آبی بدون تاثیر منفی بر روی محصول استخراجی از مهمترین مسائل پیش رو در زمینه استخراج ترکیبات فنلی است که با استفاده از محلول بتاسیکلولدکسترنین امکان پذیر می شود [۱۰]. کاربرد روش جدید استخراج سبز ترکیبات زیست فعل با استفاده از محلول β -CD همراه با اولتراسوند در مقایسه با استفاده از حلال های آلی، روشی بسیار اقتصادی، ایمن، سریع با کاربرد حداقل میزان ترکیبات شیمیایی مضر همراه با کمترین ریسک آلدگی محصول و محیط زیست می باشد [۱۱]. با در نظر گرفتن فواید تغذیه ای، کاربردی و تکنولوژیکی ترکیبات زیست فعل حاصل از پوست انار، ارائه روش های کاربردی و ایمن و بهینه سازی آنها برای استخراج ترکیبات مفید موجود در پوست انار به عنوان ضایعات، در صنایع غذایی و دارویی بسیار حائز اهمیت می باشد. تا کنون تحقیقی در

1. *Bacillus macerans*

2. Generally recognized as safe

3. Inclusion complex

۱- مقدمه

در سال های اخیر توجه زیادی به ضایعات محصولات کشاورزی به منظور دستیابی به منابع جدید و ارزان قیمت ترکیبات زیست فعال طبیعی معطوف گردیده است که این امر لزوم انجام تحقیقات بیشتر در این زمینه را ضروری می سازد [۱]. در ایران نیز ۳۵ درصد تولیدات کشاورزی به ضایعات تبدیل می شود از جمله این ضایعات، پسماندهای کارخانجات و مراکز تولید آبمیوه و کنسانتره می باشد که دارای ترکیبات مفید و سلامت بخش بوده و می توانند کاربردهای زیادی در صنایع غذایی داشته باشند. ترکیبات فنلی از مهمترین ترکیبات موجود در این پسماندها می باشند که استخراج این ترکیبات طبیعی و کاربرد آنها در صنایع غذایی سبب تولید محصولات غذایی مفید با خواص سلامت بخشی بالا خواهد شد [۲]. هنگام آبگیری از میوه انار در کارخانه های تولید آبمیوه، بخش زیادی از ضایعات میوه انار که بسته به رقم آن از ۳۰ تا ۶۰ درصد متغیر است را پوست میوه تشکیل می دهد. این نکته لزوم استفاده صنعتی و بهینه از چنین حجم وسیعی از ضایعات را روشن می نماید [۳]. پوست انار دارای کاربردهای درمانی گسترده ای از جمله: خاصیت ضدسرطانی، ضدالتهابی، ضدجهش زائی، ضدبیابتی، حفاظت کلیوی و آنتی آترواسکلروتیک می باشد که اغلب این اثرات سلامت بخشی ناشی از حضور مقادیر بالای ترکیبات فنولیک در پوست میوه انار می باشد [۴]. جهت استفاده از مزایای ترکیبات عملگرای موجود در پوست انار بایستی بافت سلولزی و سخت پوسته متلاشی شده و عصاره آن استخراج گردد. ولی استخراج ترکیبات زیست فعل از ضایعات کشاورزی با روش های معمول نیاز به صرف زمان طولانی و مقدار حلال زیادی دارند که ضمن سمی بودن دارای مخاطرات زیست محیطی فراوانی هستند. بنابراین نیاز به روش های استخراج جدید با زمان استخراج کوتاه تر، مصرف حلال آلی کمتر با ایجاد آلدگی کمتر تحت عنوان استخراج سبز بیش از پیش افزایش یافته است [۵]. اگر چه آب حلال موثری در استخراج مقادیر زیادی از ترکیبات زیست فعل می باشد، اما در استخراج برخی از این ترکیبات ناکارامد می باشد. بنابراین کاربرد برخی ترکیبات از جمله β -CD در جهت افزایش راندمان استخراج ترکیبات زیست فعل از باقی مانده های گیاهی

Table 1 Gross chemical composition of pomegranate peel (on dry weight basis)

Parameter	Content(%)
Moisture	6.2
Ash	3.88
Fat	0.52
protein	3.86
fiber	11.2
Carbohydrate	85.54

۲-۲-۲-روش عصاره‌گیری

جهت استخراج ترکیبات پلی فنلی از پوست انار از حمام اولتراسونیک (مدل Elma، ساخت کشور آلمان) با فرکانس ثابت ۴۰ کیلو هرتز و انرژی ۱۰۰ وات استفاده گردید. حلال‌های مورد استفاده جهت استخراج شامل آب و محلول ۹/۰ و ۸/۱ درصد از β -CD بود. جهت تهیه محلول β -CD در غلظت‌های ذکر شده، مقدار مورد نظر از ترکیب بتا‌سیکلودکسترین را با آب مقطر در بن‌ماری ۵ درجه سانتی‌گراد به مدت ۳۰ دقیقه، تا حل شدن کامل بتا‌سیکلودکسترین به حالت همراه قرار داده شد. مقدار ۱۰ گرم از پودر پوست خشک شده انار وزن شد و با ۱۰۰ میلی‌لیتر از حلال‌های ذکر شده به نسبت (۱۰:۱) طبق شرایط دمایی و زمانی تعیین شده استخراج گردید. برای اینکه عصاره‌های پوست انار در داخل ارلن‌های مورد استفاده طی فرایند استخراج در مععرض نور قرار نگیرد بدنه و دهانه ارلن‌های مورد استفاده کاملاً با فویل آلومینیومی پوشانده شد. عصاره‌های استخراجی بعد از اتمام فرایند استخراج با کاغذ واتمن شماره ۱ صاف گردید و سپس به مدت ۱۵ دقیقه با سرعت ۳۰۰۰ دور در دقیقه سانتریفیوز گردید و در نهایت مایع شفاف جدا شده که همان عصاره استخراج شده است از نظر ویژگی‌های کیفی مورد بررسی قرار گرفت و پس از بهینه‌سازی شرایط استخراج، عصاره بهینه شده با استفاده از روش فریزدرایینگ (Dena vacuum industry, FD-5005-BT, Iran) خشک شد و سپس از نظر آزمون‌های DSC، FTIR و SEM مورد بررسی قرار گرفت.

زمینه استفاده همزمان از فرایند اولتراسوند و محلول β -CD زمینه استخراج آبی ترکیبات پلی‌فنلی از پوست انار انجام نشده است. بنابراین مطالعه حاضر با هدف بررسی بهبود شرایط استخراج سبز ترکیبات پلی‌فنلی غیرفلاؤنوتئیدی از پوست انار و بررسی کارایی روش فوق در افزایش راندمان استخراج این ترکیبات از پوست انار انجام گرفت.

۲-مواد و روش‌ها

۲-۱-مواد اولیه

میوه‌های سالم و رسیده انار (رقم ملس فارس) جهت پوست‌گیری از بازار محلی در شهر ارومیه خریداری شد. استات پتاسیم (Qualikems) ساخت کشور هندوستان، معرف فولین‌سیوکالتو (Folin-Ciocalteu)، کلرید آلمینیوم و متانول از شرکت مرك آلمان، بتا‌سیکلودکسترین(β -Cyclodextrin)، اسید‌گالیک، کوئرستین، کربنات سدیم و سایر استاندارد های مورد نیاز از شرکت سیگما آمریکا بود. کلیه ترکیبات شیمیایی و معرف‌ها دارای درجه آزمایشگاهی بودند.

۲-۲-روش‌ها

۲-۲-۱-آماده‌سازی نمونه

میوه‌های سالم و رسیده انار با آب مقطر شسته و کاملاً خشک گردید. در مرحله بعد پوست انار به دقت از بخش خوراکی انار جدا شده و در محلی به دور از نور مستقیم آفتاب در دمای ۲۰ ± ۲ درجه سانتی‌گراد به مدت دو هفته تا رسیدن به وزن ثابت کاملاً خشک شد. پوست‌های خشک شده انار با استفاده از آسیاب برقی کاملاً خرد شد و سپس جهت بدست آوردن پودری با اندازه ذرات یکنواخت از الک آزمایشگاهی با مش ۴۰ میکرومتر عبور داده شد و پس از آنالیز پوست انار مورد استفاده از نظر پارامترهای ذکر شده در جدول ۱ تا زمان استفاده در بسته‌بندی نایلونی در یخچال نگهداری شد.



Fig 1 pure pomegranate peel extract powder (a) inclusion complex of β -CD and pure pomegranate peel extract powder (b) β -CD powder (c)

۲-۴-اندازه‌گیری بازده کمی استخراج

در صد بازده کمی استخراج با تقسیم کردن عدد وزن عصاره خشک بدست آمده از هر تیمار بر میزان برش اولیه نمونه (۱۰ گرم پوست انار) ضربدر ۱۰۰ بدست آمد.

۲-۵-بررسی خواص حرارتی

جهت بررسی خواص حرارتی نمونه‌ها از DSC (perkinElmer, jade) ساخت کشور آمریکا استفاده شد. کالیبراسیون دستگاه توسط ایندیوم و نقره صورت گرفت. ظرف آلمینیومی خالی به عنوان مرجع و ازت بعنوان اتمسفر مورد استفاده قرار گرفت. نمونه‌هایی با وزن تقریبی ۰/۰۳ گرم با سرعت ۱۰°C/min در گستره دمایی ۳۰ تا ۳۸۰° حرارت داده شدند.

۲-۶-طیف‌سنجدی مادون قرمز تبدیل فوریه (FT-IR)

طیف FTIR نمونه‌ها با استفاده از دستگاه طیف‌سنجد (Shimadzu ir-prestige21) در محدوده عدد موجی $4000-400\text{ cm}^{-1}$ و در تکیک‌پذیری 4 cm^{-1} مورد بررسی قرار گرفت. نمونه‌ها با KBr مخلوط شده و تحت فشار قرار گرفتند. در اثر فشار KBr ذوب شده و ترکیب مورد نظر را به صورت ماتریس در می‌آورد. قرص KBr حاصل، در نگهدارنده دستگاه طیف‌سنجد قرارداده شد و طیف عبوری آن ثبت گردید.

۲-۷-میکروسکوپ الکترونی روشنی (SEM)

مورفولوژی پودرهای لیوفیلیزه عصاره‌های استخراجی از پوست انار و بتاپیکلودکسترین خالص توسط میکروسکوپ الکترونی

۲-۳-اندازه‌گیری ترکیبات پلی فنلی غیرفلاؤنئیدی

جهت اندازه‌گیری ترکیبات پلی فنلی غیرفلاؤنئیدی ابتدا مقدار کل ترکیبات پلی فنولی به روش فولین سیوکالتیو محاسبه شد. جهت محاسبه، ۱۰۰ میکرولیتر عصاره استخراجی با ۵۰۰ میکرولیتر معرف فولین سیوکالتیو کاملاً مخلوط شد بعد از ۳ تا ۵ دقیقه ۴۰۰ میکرولیتر کربنات سدیم ۵/۷ در صد به مخلوط اضافه گردید و پس از افزودن ۳ میلی‌لیتر آب مقطر ورتكس کامل انجام گرفت و محلول مورد نظر به مدت ۳۰ دقیقه در دمای اتاق و در محل تاریک قرار داده شد سپس جذب هر کدام از نمونه‌ها در طول موج ۷۶۵ نانومتر خوانده شد. از اسید گالیک به عنوان استاندارد استفاده گردید. معادله خط با ضریب همبستگی بالا بصورت $(Y = 0.0136x - 0.0041, R^2 = 0.998)$ بدست آمد [۱۲].

همچنین میزان فلاونئید کل نمونه‌ها بر اساس روش رنگ‌سنجدی با کلرید آلمینیوم انجام گرفت. جهت محاسبه ۵/۰ میلی‌لیتر از هر عصاره با ۵/۰ میلی‌لیتر محلول کلرید آلمینیوم ۲ در صد مخلوط شد و ۳ میلی‌لیتر استات پتابسیم ۵ در صد به آن اضافه گردید و به مدت ۴ دقیقه در دمای اتاق قرار داده شد و سپس جذب هر کدام از نمونه‌ها در طول موج ۴۱۵ نانومتر خوانده شد. و از کوئرستین به عنوان استاندارد استفاده گردید. معادله خط با ضریب همبستگی بالا بصورت $(Y = 0.0135x - 0.0288, R^2 = 0.993)$ بدست آمد [۱۳]. و در نهایت میزان ترکیبات فنلی غیرفلاؤنئیدی از کسر میزان ترکیبات فنلی کل از میزان ترکیبات فلاونئیدی محاسبه گردید و بر حسب میلی‌گرم اسید گالیک در گرم نمونه خشک پوست انار گزارش شد (mgGAE/gDW).

بعدی با نرم افزار Design expert 7.5.1 انجام شد. بدین منظور معادلات ریاضی چند جمله‌ای درجه دوم با استفاده از آنالیز رگرسیون بر روی متغیرهای وابسته در مدل زیر برازش شدند:

$$Y = \beta_0 + \beta_1 A + \beta_2 B + \beta_3 C + \beta_{11} A^2 + \beta_{22} B^2 + \beta_{33} C^2 + \beta_{12} AB + \beta_{13} AC + \beta_{23} BC$$

در معادله فوق Y بیانگر پاسخ‌های مورد نظر شامل بازده استخراج و ترکیبات فنولی غیرفلاؤنوئیدی و β_n نشان دهنده ی ضرایب رگرسیون می‌باشد. این ضرایب اثرات خطی، دو جمله‌ای و نیز اثرات متقابل فاکتورهای متغیر فرآیند را بیان می‌کنند. مقادیر A , B و C نیز به ترتیب نشان دهنده فاکتورهای مستقل فرآیند بودند.

روشی (EM3200-KYKY) در ولتاژ ستایل دهنده از 10 تا 20 کیلو ولت، مورد بررسی قرار گرفت. قبل از مشاهده، سطح نمونه‌ها بوسیله لایه نازکی از طلا توسط پوشش دهی با مکانیسم کندپاش پوشش داده شدند.

۲-۲-۸-طراحی آزمایشات

پارامترهای فرآیند استخراج ترکیبات پلی‌فنلی از پوست انار با استفاده از روش سطح پاسخ بهینه‌سازی شدند. بدین منظور از طرح Box-Benhken شامل سه متغیر دما، زمان و غلاظت محلول β -CD به تعداد ۱۵ تیمار و ۳ تکرار در نقطه مرکزی استفاده شد. سطوح متغیرهای مستقل و کدهای مربوطه در جدول ۲ ذکر شده است. سپس بر اساس تعداد فاکتورها و سطوح آنها جدول طرح آماری معین شد. معنادار بودن آماری عبارت‌ها در معادله رگرسیونی در سطح اطمینان ۹۵ درصد ($p \leq 0.05$) مورد بررسی قرار گرفت و تجزیه تحلیل داده‌ها و رسم نمودارهای سه

Table 2 Independent variable of the process and their corresponding levels

Independent variable	Symbols	Levels		
		-1	0	1
Temperature(°C)	A	30	50	70
Time(min)	B	10	25	40
β -CD concentration(gr/100ml)	C	0	0.9	1.8

Table 3 Experimental design and response values

Run	A: Temperature (°C)	B: Time (min)	C: β -CD (gr/100ml)	Extraction efficiency(%)	Non-flavonoid phenols (mgGAE/gDW)
1	50	25	0.9	43.13	49.98
2	30	25	1.8	34.17	64.07
3	70	40	0.9	44.83	76.31
4	50	40	1.8	38.22	47.39
5	30	25	0	33.35	59.05
6	50	25	0.9	43.33	57.81
7	70	10	0.9	43.56	68.67
8	50	10	1.8	50.57	95.67
9	50	40	0	45.75	47.91
10	30	40	0.9	30.81	89.19
11	70	25	0	39.14	54.50
12	30	10	0.9	34.83	89.24
13	50	10	0	37.12	43.47
14	50	25	0.9	43.83	52.83
15	70	25	1.8	44.14	80.53

Table 4 Analysis of variance and coefficients of regression fitting models showing the relationships among responses and independent variables

Parameter	Extraction Efficiency(%)	Non-flavonoid phenols(mgGAE/gDW)
Intercept	-1.28	184.63
A	1.34 ^a	-4.71 ^{ns}
B	0.04 ^{ns}	-2.12 ^{ns}
C	9.91 ^c	33.8 ^c
AB	0.004 ^{ns}	0.006 ^{ns}
AC	0.06 ^{ns}	0.29 ^{ns}
BC	-0.39 ^a	-0.98 ^{ns}
A ²	-0.01 ^a	-0.04 ^c
B ²	-0.0006 ^{ns}	0.05 ^{ns}
C ²	-0.82 ^{ns}	-6.94 ^{ns}
R ²	0.98	0.85
Adj R ²	0.96	0.64
P-value	0.0005 ^a	0.0013 ^b
F-value	36.42	12.86
Lack of fit	0.06 ^{ns}	0.07 ^{ns}

a: Significant at 0.1% level; b: Significant at 1% level; c: Significant at 5% level; ns (non-significant)

طبق جدول تجزیه واریانس جملات خطی دما (A)، غلظت (C)، اثرات متقابل زمان (B) و غلظت بتاسیکلودکسترین (CD)، اثرات متقابل زمان (B)، غلظت بتاسیکلودکسترین (C) و اثر درجه دوم دما در سطح ($P \leq 0.50$) تاثیر معنی‌داری بر میزان کارایی کمی استخراج داشتند. با بررسی مقادیر عددی ضرایب برای دما و غلظت β -CD می‌توان دریافت که دما و غلظت β -CD هر دو تأثیر مثبت و معنی‌داری بر بازده کمی استخراج داشت ولی تأثیر غلظت بتاسیکلودکسترین بر کارایی کمی استخراج بیشتر از دما بود. بنابراین با توجه به پارامترهای دارای اثر معنی‌دار، معادله کلی مدل درجه دوم برای پاسخ کارایی کمی استخراج، به صورت رابطه ۱ گزارش شد.

$$Y = -28/1 + 34/1A + 91/9C - 0.39BC - 0.1/A^2$$

رابطه (۱)

ضریب تبیین R^2 مدل پیش‌بینی شده در مورد پاسخ فوق ۹۸/۰ و مقدار P برای آزمون فقدان برازش^۴ نیز ۰۶/۰ بود بنابراین مدل ارائه شده در معادله فوق برازش مناسبی برای پاسخ مورد نظر ارائه داد (جدول ۴). تأثیر متغیرهای مستقل مورد مطالعه بر راندمان کمی استخراج، بصورت سطح پاسخ سه بعدی در شکل ۲ نشان داده شده است. همانطور که مشاهده شد با افزایش دما تا

4. Lack of fit

۹-۲-۲-برازش مدل

مدل سازی شامل بر قراری روابط کمی بین متغیرهای فرایند و پاسخ‌های مورد نظر بر اساس داده‌های آزمایش است. مدل مناسب با توجه به معنی‌دار بودن آزمون F در سطح ($P \leq 0.10$) یا ($P \leq 0.50$) و معنی‌دار نبودن فقدان برازش در مورد آن، و همچنین مقادیر R^2 و R^2 تعديل شده و ضریب تغییرات انتخاب شد. با توجه به جداول آنالیز واریانس (ANOVA) می‌توان دریافت که مدل برازش داده شده برای تمام پارامترهای مورد بررسی معنی‌دار است. جهت بررسی پارامترهای اثرگذار در مطالعه با توجه به جدول تجزیه واریانس، جملات فاقد آزمون F معنی‌دار از مدل حذف و سایر جملات که دارای اختلاف معنی‌دار بودند، در مدل حفظ شدند در نهایت در بین پارامترهای مختلف، پارامتری که بیشترین مجموع مربuat را داشته باشد به عنوان اثرگذارترین پارامتر انتخاب شد.

۳-نتایج و بحث

۳-۱-تأثیر متغیرهای فرایند بر کارایی کمی استخراج

حرارتی ترکیبات زیست فعال منجر به کاهش راندمان استخراج می‌شود. این تاثیر دوگانه دما بر عملکرد کمی جداسازی ترکیبات با ارزش زیست فعال در مطالعات متعددی بررسی شده و نتایج مشابهی بدست آمده است [۱۴].

۵۰ درجه سانتی‌گراد بر عملکرد کمی استخراج افزوده شد. سپس در ادامه با افزایش میزان دما تا ۷۰ درجه سانتی گراد از میزان کارایی استخراج کاسته می‌شود. افزایش دما سبب افزایش ضریب نفوذ حلال و در نتیجه بهبود راندمان استخراج می‌شود. اما از سوی دیگر استفاده از دماهای بالا به دلیل تخریب‌پذیر بودن

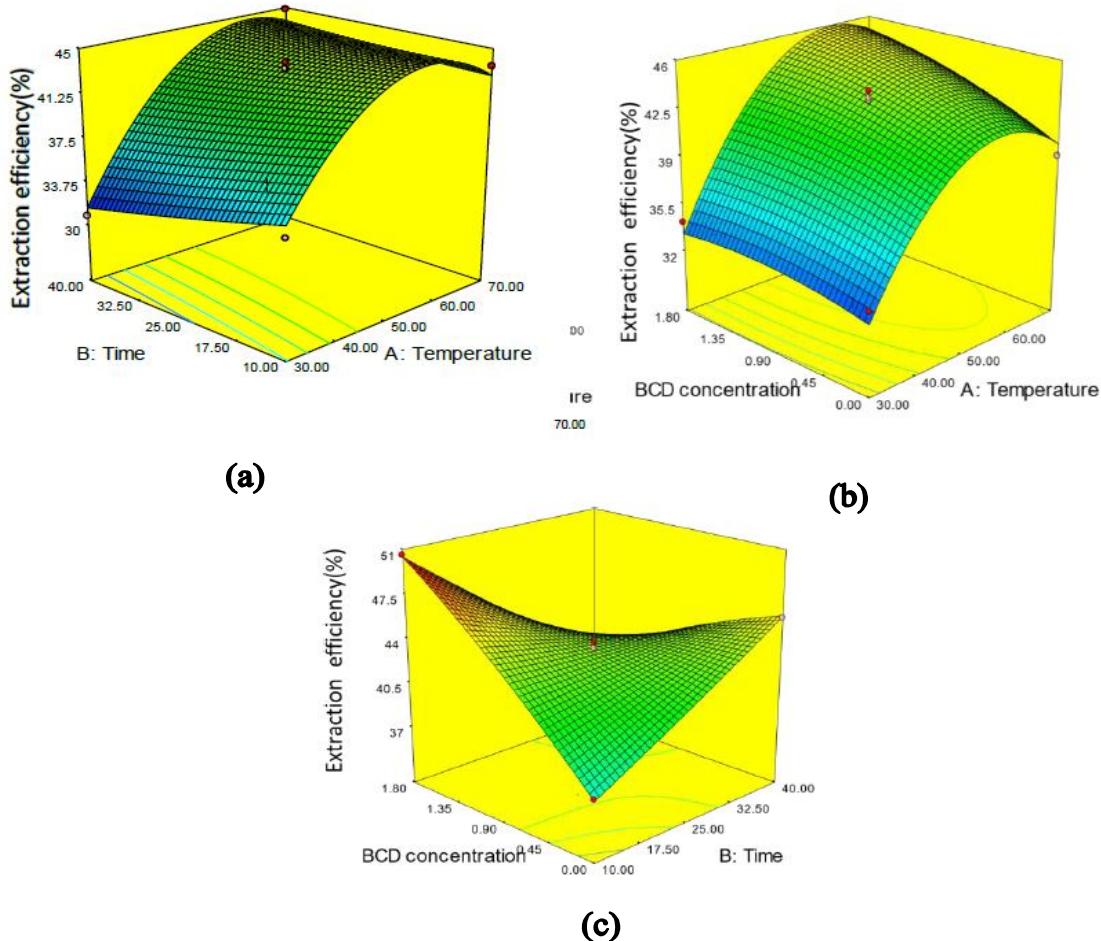


Fig 2 Contour plot for the effect of (a) time and temperature (b) β -CD concentration and temperature (c) β -CD concentration and time on extraction efficiency(%)

با افزایش غلظت β -CD در حلال افزایش کارایی استخراج مشاهده شد که در نتیجه ایجاد کمپلکس الحقیقی مابین ساختار این ترکیبات و β -CD می‌باشد که سبب افزایش قابلیت انحلال آنها در آب و در نتیجه افزایش راندمان استخراج این ترکیبات شده است [۱۶]. بیشترین میزان بازده کمی استخراج به میزان ۵۷/۵۰ درصد در تیمار با دمای ۵۰ درجه سانتی‌گراد، زمان ۱۰ دقیقه و غلظت ۸/۱ درصد β -CD مشاهده شد.

با افزایش زمان استخراج نیز بر میزان عملکرد کمی استخراج افزوده شد. افزایش زمان از طریق افزایش زمان انتقال جرم ترکیبات حل شونده از ماتریس گیاهی به حلال منجر به افزایش راندمان استخراج می‌شود ولی تاثیر این افزایش معنی‌دار نبود ($P \geq 0.50$) که این امر احتمالاً به علت اشباع شدن حلال با ترکیبات استخراج شده و صفر شدن شبیه غلظت و متوقف شدن اثر حلال با گذشت زمان می‌باشد [۱۵]. همچنین

ارائه شده در معادلهٔ فوق برآش مناسبی برای پاسخ مورد نظر ارائه داد (جدول ۴). تأثیر متغیرهای مستقل مورد مطالعه بر محتوای ترکیبات فنلی غیر فلاونوئیدی استخراجی از پوست انار بصورت سطح پاسخ سه‌بعدی (شکل ۳) نشان داده شده است. همان‌طور که مشاهده شد با افزایش دما از ۳۰ تا میزان ۵۰ درجه سانتی‌گراد میزان استخراج ترکیبات پلیفنلی غیر فلاونوئیدی کاهش یافت اما با افزایش بیشتر دما تا ۷۰ درجه سانتی‌گراد یک روند افزایشی در میزان استخراج این ترکیبات مشاهده گردید. علت افزایش میزان استخراج این ترکیبات با افزایش دما این است که در واقع دمای بالاتر می‌تواند منجر به نرم شدن بافت گیاهی، تخریب اتصالات ترکیبات فنلی با پروتئین و پلی‌ساقاریدها و افزایش قابلیت اتحالن ترکیبات فنلی شده که این اثرات، می‌توانند انتقال جرم را بهبود بخشد و سبب افزایش میزان استخراج ترکیبات فوق در دمای بالای استخراج شود [۱۴].

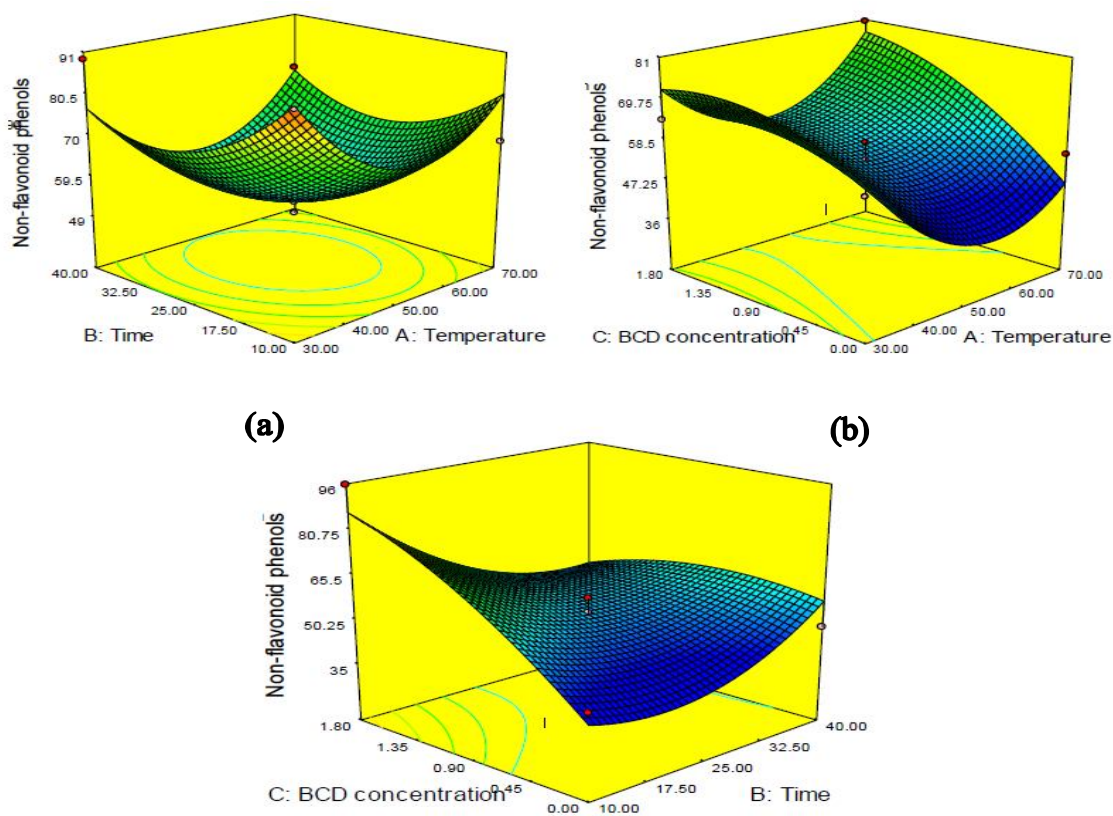


Fig 3 Contour plot for the effect of (a) time and temperature (b) β -CD concentration and temperature (c) β -CD concentration and time on Non-flavonoid phenolic compounds

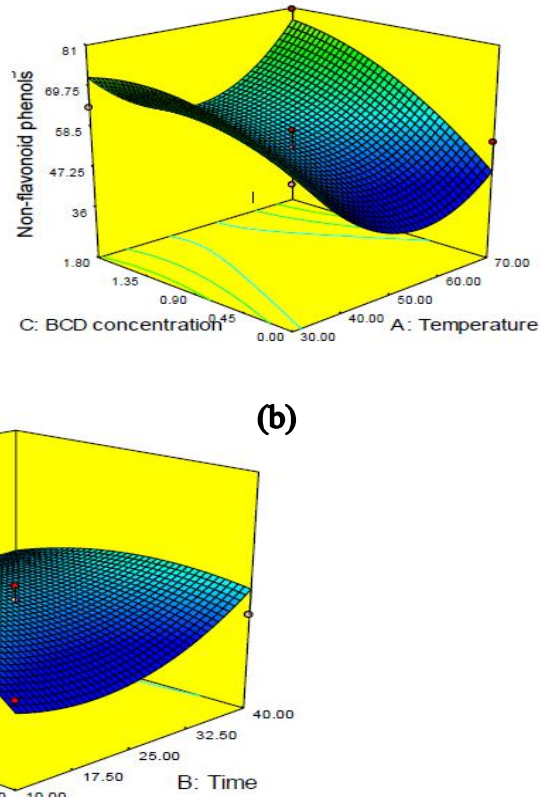
دقیقه کاهش مختصی در میزان استخراج ترکیبات فنلی غیر فلاونوئیدی ایجاد شد که علت این کاهش احتمالاً به دلیل

۳-۲-۳- تأثیر متغیرهای فرایند بر محتوای ترکیبات فنلی غیر فلاونوئیدی

طبق جدول تجزیه واریانس جملات خطی غلظت β -CD (C) و اثر درجه دما در سطح ($P \leq 0.05$) تأثیر معنی‌داری بر میزان استخراج ترکیبات پلیفنلی غیر فلاونوئیدی داشتند. با بررسی مقادیر عددی ضرایب برای غلظت β -CD می‌توان دریافت که β -CD تأثیر مثبت و معنی‌دار بر میزان استخراج ترکیبات فنلی غیر فلاونوئیدی داشت اما اثر درجه دما معنی‌دار و منفی بود. بنابراین با توجه به پارامترهای دارای اثر معنی‌دار، معادله کلی مدل درجه دوم برای پاسخ ترکیبات فنلی غیر فلاونوئیدی، به صورت رابطه ۲ گزارش شد.

$$Y = -28/1 + 91/9 C - 0/013 A^2 \quad (2)$$

ضریب تبیین R^2 مدل پیش‌بینی شده در مورد پاسخ فوق ۰/۸۵ و مقدار P برای آزمون فقدان برآش نیز ۰/۰۷ بود بنابراین مدل



در مورد تأثیر زمان بر میزان استخراج ترکیبات فنلی غیر فلاونوئیدی ملاحظه گردید که با افزایش زمان استخراج تا ۲۵

از تفاله هلو [۱۹]، از گونه های مختلف انگور [۲۰]، گیاه *Sideritis scardica*، تفاله و میوه انگور قرمز [۶] و تفاله سیب [۲۱] انجام گرفته است که نتایج همگی گویای افزایش راندمان استخراج ترکیبات پلی فنلی با استفاده از ترکیب β -CD طی فرایند استخراج بود. از بین تیمارهای انجام گرفته در مطالعه حاضر بالاترین میزان استخراج ترکیبات فنلی غیرفلاؤنئیدی به میزان 95.7 mgGAE/gDW درجه سانتی گراد و زمان 10 دقیقه و غلظت $8/1$ درصد از β -CD بود.

۳-۳-بهینه سازی

در فرایند استخراج ترکیبات پلی فنلی غیرفلاؤنئیدی از پوست انار دستیابی به بیشترین میزان ترکیبات فنولی غیرفلاؤنئیدی و بازده کمی استخراج به عنوان اهداف مورد نظر آزمایشات در تجزیه و تحلیل آماری مورد نظر قرار گرفت. شرایط عملیاتی بهینه، با استفاده از تکنیک بهینه سازی عددی انجام شد. بدین منظور، در ابتدا اهداف بهینه سازی، سطوح پاسخ و مستقل متغیرهای تنظیم گردید. با استفاده از تکنیک تابع مطلوبیت بهترین پاسخها بدست آمد. شرایط بهینه استخراج دمای $76.5\text{ درجه سانتی گراد}$ ، زمان 38.15 دقیقه و غلظت $8/1$ درصد از β -CD بود که تحت این شرایط بیشترین میزان استخراج ترکیبات فنلی غیر فلاؤنئیدی بود. مطلوبیت بدست آمده تحت شرایط بهینه برای متغیرها و پاسخهای مورد بررسی نیز 76.0 بود.

۴-بررسی طیف سنجی مادون قرمز تبدیل فوریه (FTIR)

طیف سنجی FTIR اغلب به عنوان یک ابزار مناسب جهت تعیین گروههای عاملی خاص و یا پیوندهای شیمیایی که در یک ماده وجود دارد، مورد استفاده قرار می گیرد. نتایج طیف سنجی مادون قرمز عصاره استخراجی تحت شرایط بهینه با استفاده از بتاسیکلودکسترین، عصاره استخراجی تحت شرایط بهینه با آب (بدون حضور بتاسیکلودکسترین) و بتاسیکلودکسترین خالص در شکل ۳ نشان داده شده است. در ترکیب شیمیایی بتاسیکلودکسترین پیکهای مربوط به اعداد جذبی 3410 ، 2923 ، 1158 ، 1128 و 1078 به ترتیب مربوط به باندهای کششی C-O-H، C-O-C، باندهای کششی C-H، باندهای کششی گروه کربونیل O-C و ارتعاشات اسکلتی باندهای کششی نامتقارن پل C-O-C و ارتعاشات اسکلتی

اشباع شدن حلال از ترکیبات پلی فنلی و کاهش اثر حلال در میزان استخراج این ترکیبات می باشد ولی با افزایش زمان استخراج تا 40 دقیقه، میزان استخراج ترکیبات فنلی غیرفلاؤنئیدی افزایش یافت که احتمال داده می شود یکی از دلایل افزایش مقدار این ترکیبات، تجزیه پلی فنل های سنگین وزن به انواع با وزن مولکولی کمتر باشد در نتیجه تماس طولانی - تر این ترکیبات تحت دمای بالای استخراج باشد [۱۵]. در مورد تاثیر غلظت محلول β -CD بر میزان استخراج ترکیبات پلی فنلی مشاهده می شود (شکل ۱) که با افزایش غلظت β -CD در حلال مورد استفاده میزان استخراج ترکیبات فنلی کل به میزان معنی داری ($p \leq 0.5/0$) افزایش یافت. بتاسیکلودکسترین به دلیل تشکیل کمپلکس الحقیقی از طریق حفره لبیوفیل خود با پلی فنل های هیدروفیل سبب افزایش قابلیت انحلال آنها در آب می شود [۱۶]. زیرا بیشتر ترکیبات پلی فنلی ترکیبات غیر قطبی آروماتیک می باشند که در حلال های قطبی نظیر آب حلایت پایینی دارند بنابراین میزان استخراج این ترکیبات با آب بسیار پایین است. همچنین در تحقیقات دیگر انجام گرفته در این زمینه بر هم کنش مابین β -CD با ترکیبات پلی فنلی را در نتیجه نفوذ β -CD در غشا سلولی این ترکیبات جهت اتصال با محل های هدف عنوان شده در این حالت همچنین ویژگی های بیوشیمیایی و بیولوژیکی ملکول های مهمان نیز بطور موثر تغییر می یابد و در نتیجه قابلیت نفوذپذیری، انحلال و دسترسی زیستی ترکیبات فوق افزایش می یابد [۱۷]. میزان غلظت مورد نیاز از محلول β -CD جهت تشکیل کمپلکس الحقیقی مابین β -CD و ترکیبات زیست فعال موجود در منابع گیاهی بستگی به حداقل میزان حلایت این ترکیب در آب دارد. در مطالعه حاضر حداقل غلظت محلول β -CD مورد استفاده در فرایند استخراج $8/1$ درصد در نظر گرفته شد که این میزان بر اساس حداقل حلایت این ترکیب در آب در نظر گرفته شده است [۱۸] اندازه حفره غیر قطبی β -CD برای جایگزینی ترکیبات آروماتیک و هتروسیکلیک با جرم مولی $800-200$ گرم در مول مناسب می باشد. وزن ملکولی فنولیک اسیدها و فلاونولها به ترتیب $464-302$ و $354-194$ گرم در مول می باشد بنابراین حفره هیدروفوب β -CD محیط مناسبی جهت ایجاد کمپلکس الحقیقی با این ترکیبات می باشد در نتیجه این امر میزان استخراج این ترکیبات در نتیجه افزودن ترکیب β -CD به آب به عنوان حلال استخراجی افزایش می یابد [۶]. تحقیقات مشابهی نیز در زمینه افزایش راندمان استخراج ترکیبات پلی فنلی

جزبی ۲۳۴۵ در عصاره استخراجی تحت شرایط بهینه با آب در طیف های مربوط به عصاره استخراجی با بتاسیکلولودکسترن حذف شده اند و پیک های جدیدی در محدوده اعداد جزبی ۱۰۷۸ و ۱۱۵۴ ایجاد شده است که به ترتیب مربوط به ارتعاشات اسکلتی C-O می باشد که همگی گویای ایجاد پیوندهای جدید بین ترکیبات پلی فنلی پوست انار با ساختار بتاسیکلولودکسترن در عصاره استخراجی با این ترکیب می باشد [۲۳].

کششی گروه کربونیل C-O می باشد [۲۲]. پیک های مربوط به اعداد جزبی ۳۴۱۰، ۳۴۲۳، ۲۹۲۳، ۱۰۲۸ و ۱۱۵۸ در ترکیب شیمیابی بتاسیکلولودکسترن خالص، با باندهای مربوط به اعداد جزبی ۳۴۰۵، ۲۹۲۷ و ۱۱۵۴ در عصاره بهینه استخراجی با بتاسیکلولودکسترن جایگزین شده است و باندهای مربوط به محدوده جزبی ۲۰۰۰ تا ۲۵۰۰ حذف شده اند. این تغییرات احتملا نشان دهنده تشکیل پیوندهای هیدروژنی داخل ملکولی بین ترکیبات فنلی عصاره استخراجی از پوست انار با بتاسیکلولودکسترن می باشد. همچنین باندهای مربوط به عدد

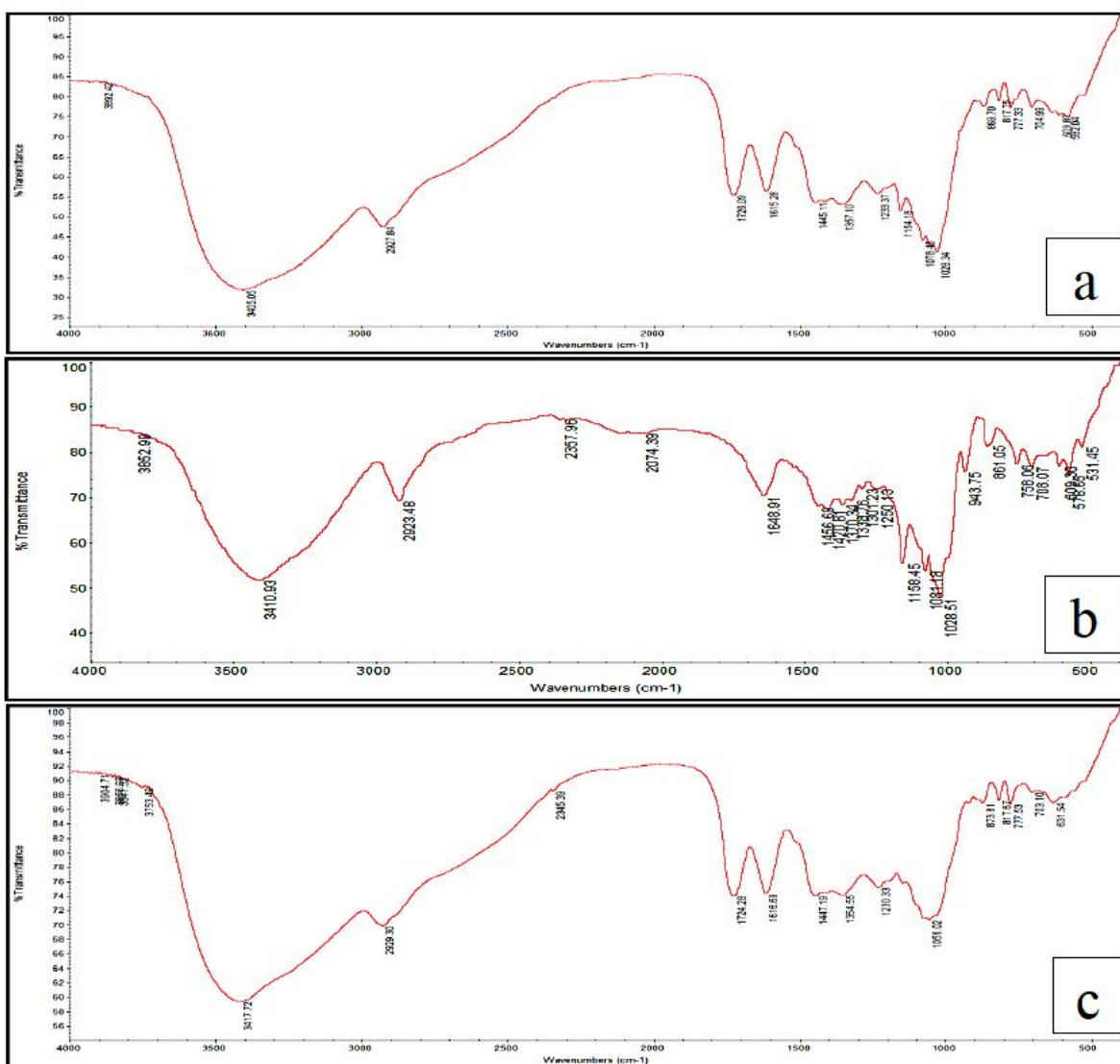


Fig 3 FT-IR spectra of pure pomegranate peel extract (a) β -CD alone(b) and inclusion complex of β -CD and pure pomegranate peel extract (c)

که احتمالاً کاربرد محلول بتاسیکلودکسترن در استخراج ترکیبات پلی‌فنلی از پوست انار سبب تغییر برخی ویژگی‌های حرارتی از جمله محل پیک‌های اندوترمی و نقطه ذوب شد [۲۵]. مقایسه ترموگرام مربوط به عصاره استخراجی با آب تحت شرایط بهینه و عصاره استخراجی با بتاسیکلودکسترن تحت شرایط بهینه نشان می‌داد که شروع ذوب عصاره استخراجی با بتاسیکلودکسترن در دمای بالاتری نسبت به عصاره استخراجی با آب بود که همگنی گویای حفاظت هسته فنلی توسط ماتریکس بتاسیکلودکسترن در نتیجه تشکیل کمپلکس الحقیقی بود. Araújo و همکاران (۲۰۰۷) رفتار مشابهی را در زمانی که داروها را با- β -CD (انکپسوله نموده بودند مشاهده کردند [۲۶].

۳-۵-بررسی خواص حرارتی (DSC)

ترموگرام مربوط به عصاره استخراجی با آب تحت شرایط بهینه، عصاره استخراجی با بتاسیکلودکسترن تحت شرایط بهینه و بتاسیکلودکسترن خالص در شکل ۴ نشان داده شد. در ترموگرام مربوط به عصاره استخراجی با آب (بدون حضور بتاسیکلودکسترن) تحت شرایط بهینه، پیک اندوترمی در محدوده دمای ۱۲۰ درجه سانتی‌گراد مشاهده گردید ولی در ترموگرام مربوط به β -CD خالص پیک‌های اندوترمی در محدوده دمایی ۱۳۱ و ۳۳۰ درجه سانتی‌گراد ملاحظه گردید که به ترتیب احتمالاً به دلیل حذف مولکول‌های آب و تجزیه حرارتی β -CD می‌باشد [۲۴]. همه این پیک‌ها در ترموگرام عصاره استخراجی با بتاسیکلودکسترن تحت شرایط بهینه حذف شده بودند،

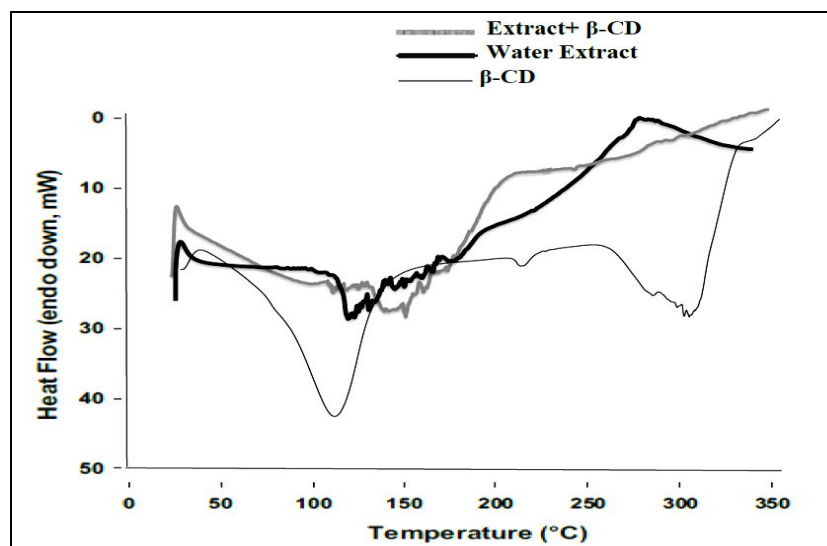


Fig 4 Thermograms of pure pomegranate peel extract (a) β -CD alone(b) and inclusion complex of β -CD and pure pomegranate peel extract (c)

مولکول‌های CDS است. تصویر (b) پس از فرایند کپسوله‌سازی، (Extract+ β -CD) ظهور ذرات با شکل نامنظم که مشخصه کپسول β -CDS حاصل از لیوفیلیزاسیون است، مشاهده می‌شود. تصویر (c) ویژگی‌های آمورف و همگن را نشان می‌دهد و با عصاره غیر تصفیه و استخراج شده با آب مرتبط است. محققان مختلف خصوصیات مشابهی را در انکپسولاسیون داروها و ترکیبات پلی‌فنلی مشاهده نموده‌اند [۲۶].

۳-۶-بررسی مرفولوژی ذرات عصاره (SEM)

شکل ۵ تصاویر SEM، بتاسیکلودکسترن خالص β -CD، عصاره استخراجی تحت شرایط بهینه با بتاسیکلودکسترن خالص (Extract+ β -CD) و عصاره استخراجی تحت شرایط بهینه با آب (Water Extract) را نشان می‌دهد. تصویر (a) پلیمر خالص β -CD به صورت ورقه‌های با اندازه ذرات مختلف را نشان می‌دهد، که اینحالت نشان دهنده ویژگی مشخصی از

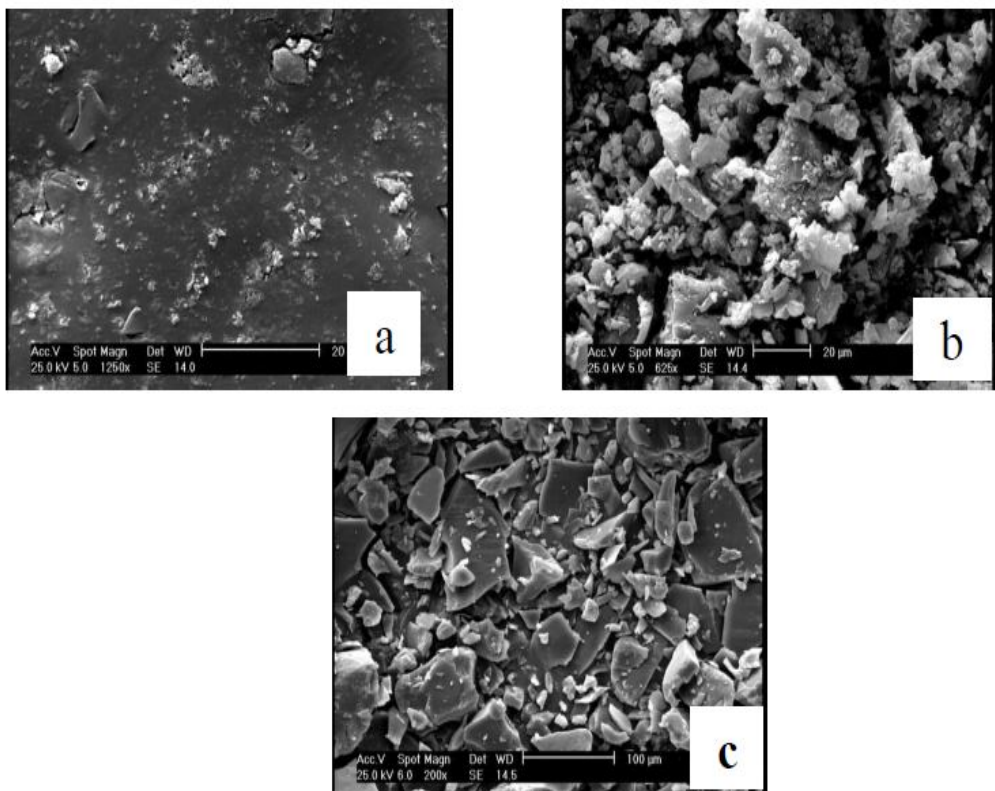


Fig 5 SEM micrographs: pure pomegranate peel extract (a) β -CD alone(b) and inclusion complex of β -CD and pure pomegranate peel extract (c)

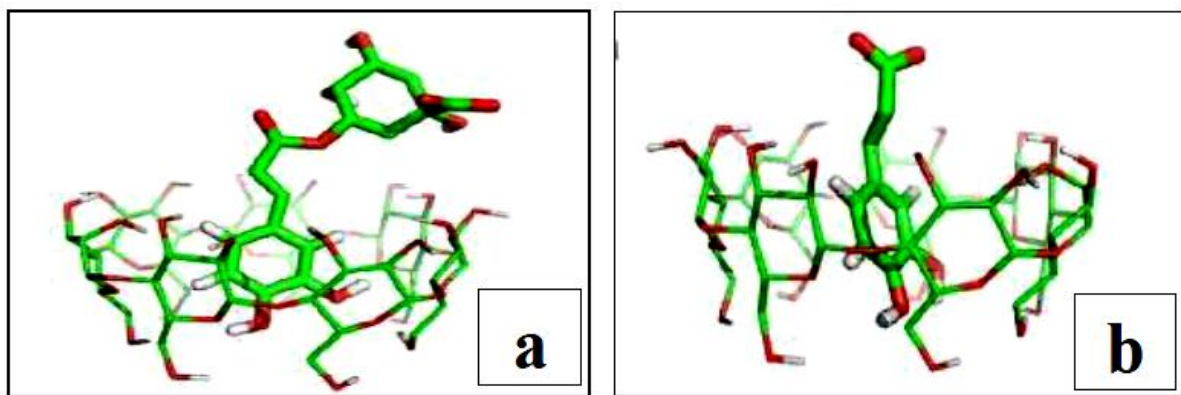


Fig 6 Inclusion complexes of β -cyclodextrin with Chlorogenic acid (a) and Caffeic acid (b)

استخراج ترکیبات زیست فعال مورد ارزیابی قرار گرفت. به منظور بهینه‌سازی فرایند استخراج با استفاده از فرایند اولتراسوند و تشکیل کمپلکس الحاقی با β -CD، از روش سطح پاسخ بر پایه طرح Box-Behnken و با استفاده از سه متغیر مستقل شامل دما، زمان و غلظت محلول β -CD استفاده گردید. شرایط بهینه

۴-نتیجه‌گیری

استفاده از محلول β -CD به عنوان محیط استخراج، می‌تواند به عنوان یک تکنیک استخراج سبز با استفاده از حلال آب باشد. در مطالعه حاضر بهینه‌سازی استخراج سبز ترکیبات پلیفنلی غیرفلالونوئیدی از پوست انار به عنوان یک منبع طبیعی برای

- Analytica Chimica Acta, 732, 100–104.
- [6] Ratnasooriya, C. C & Rupasinghe, H. P. V. (2012). Extraction of phenolic compounds from grapes & their pomace using β -cyclodextrin, Food Chemistry, 134, 625-136.
- [7] Szente, L., & Szejt, J. (2004). Cyclodextrine as food ingredient, Trend in food science & Technology, 15, 137-142.
- [8] Basilio, N., Fernandes, A., de Freitas, V., Gago, S., & Pina, F. (2013). Effect of β -cyclodextrin on the chemistry of 3',4',7-trihydroxyflavylium, New Journal of Chemistry, 37(10), 3166-3173.
- [9] Paniwnyk, L. (2001). The extraction of rutin from flower buds of Sophora japonica, Journal of Ultrasonics Sonochemistry, 2(0), 899–031.
- [10] Chemat , F., Vian, M.A., & Cravotto, G. (2012). Green extraction of natural product: concept & principles, International journal of molecular science, 13(7), 8615-8627.
- [11] Pinho, E., Grootveld, M., Soares, G., & Henriques, M. (2014). Cyclodextrins as encapsulation agents for plant bioactive compounds, Carbohydrate polymers, 101, 121-135.
- [12] Singleton, V. L., & Rossi, J. A. (1965). Colorimetry of total phenolics with phosphomolybdic phosphotungstic acid reagents, American Journal of Enology & Viticulture , 16(3), 144-158.
- [13] Djeridane A., Yousfi, M., Nadjemi, B., Boutassouna, D., Stocher, P., & Vidal, N. (2006). Antioxidant activity of some Algerian medicinal plants extracts containing phenolic compounds, Food Chemistry, 97(4), 654-660.
- [14] Ya-Qin, M. A & Jian-Chu, C. h. (2009). Simultaneous extraction of phenolic compound of citrus peel extracts: Effect of ultrasound, Journal of Ultrasonics Sonochemistry, 16, 57-62.
- [15] Rodrigues, S., A. Gustavo, & S. Pinto. (2007). Optimization of ultrasound extraction of phenolic compound from coconut shell powder by response surface methodology, Ultrasonics Sonochemistry, 15, 95-100.
- [16] Del Valle, E. M. (2004). Cyclodextrins & their uses: A review, Process Biochemistry, 93, 6401–3301.
- [17] Pralhad, T & Rajendrakumar, K .(2004). Study of freeze-dried quercetincyclodextrin

استخراج دمای ۷۵/۵۵ درجه سانتیگراد، زمان ۱۵/۳۸ دقیقه و غلظت β -CD ۸/۱ درصد بود. که تحت این شرایط، بیشترین میزان استخراج ترکیبات پلیفلنی غیرفلاؤنئیدی ۷۵/۷۷ mgGAE/gDW و بازده استخراج ۸۱/۴۲ درصد بود. نتایج آزمون‌های FTIR و SEM تشکیل کمپلکس الحقیقی مابین ترکیبات پلیفلنی پوست انار و β -CD تایید نمود. با توجه به نتایج این تحقیق، استفاده از β -CD همراه با اولتراسوند سبب افزایش کارایی استخراج ترکیبات پلیفلنی غیرفلاؤنئیدی از پوست انار شد. بنابراین وجود مقادیر بالای ترکیبات زیست فعال در پوست انار و مقررین به صرفه بودن استفاده از آن از نظر اقتصادی با توجه به این که ایران یکی از بزرگترین تولیدکنندگان انار در دنیا می‌باشد، پوست انار را به عنوان یک منع مهم ترکیبات زیست فعال جهت غنی‌سازی محصولات غذایی و تولید محصولات غذایی با ارزش تغذیه‌ای بالا و عملگرا را مطرح می‌سازد.

۵- منابع

- [1] Samadloiy, H. R., Azizi, M. H., & Barzegar, M. (2008). Physicochemical quality of seeds of pomegranate cultivar (*Punica granatum* L.) grown in Iran and antioxidative activity of their phenolic component, Journal of Food Science and Technology, 45, 190–192.
- [2] Yasoubi, P., Barzegar, M., Sahari, M. A., & Azizi, M. H. (2007). Total phenolic contents & antioxidant activity of pomegranate (*Punica granatum* L.) peel extracts, Journal of Agricultural Sciences & Technology, 9, 35-42.
- [3] Zarezadeh, M, R. (2008). Extraction & identification of nutritional & pharmaceutical compounds from pomegranate peel of three dominant Iranian varieties. M. D. dissertation, Isfahan University of Technology, Isfahan.
- [4] Hassanpour Fard, M., Ghule, A. E., Bodhankar, S. L., & Dikshit, M. (2011). Cardioprotective effect of whole fruit extract of pomegranate on doxorubicin-induced toxicity in rat, Journal of Pharmaceutical Biology, 49(4), 377-380.
- [5] Carrera, C., Ruiz-rodríguez, A., Palma, M., Barroso, C.G. (2012). Ultrasound assisted extraction of phenolic compounds from grapes,

- [23] Azeez, A. A., Rhee, K. Y., Park, S. J., Kim, H. J., & Jung, D. H. (2013). Application of cryomilling to enhance material properties of carbon nanotube reinforced chitosan nanocomposites. Composites Part B: Engineering, 50, 127-134.
- [24] Kumar-Krishnan, S., Prokhorov, E., Hernández-Iturriaga, M., Mota-Morales, J. D., Vázquez-Lepe, M., Kovalenko, Y., & LunaBárcenas, G. (2015). Chitosan/silver nanocomposites: Synergistic antibacterial action of silver nanoparticles and silver ions, European Polymer Journal, 67, 242-251.
- [25] Kalogeropoulos, N., Yannakopoulou, K., Gioxari, A., Chiou, A., & Makris, D. P. (2010). Polyphenol characterization and encapsulation in β -cyclodextrin of a flavonoid-rich Hypericum perforatum (St John's wort) extract, Food Science and Technology, 43, 882–889.
- [26] Araújo, M. V. G., Vieira, E. K. B., Lázaro, G. S., Cogenero, L. S., Ferreira, O. P., & Almeida, L. E. (2007). Inclusion complexes of pyrimethamine in 2-hydroxypropyl- β -cyclodextrin: Characterization, phase solubility and molecular modeling. Bioorganic and Medicinal Chemistry, 15, 5752–5759.
- [27] Laine, P., Kylli, P., Heinonen, M., & Jouppila, K. (2008). Storage stability of microencapsulated cloudberry (*Rubus chamaemorus*) phenolics, Journal of Agricultural and Food Chemistry, 56, 11251–11261.
- binary systems by DSC, FT-IR, X-ray diffraction & SEM analysis, Journal of Pharmaceutical & Biomedical Analysis, 34, 333–339.
- [18] El Darra, N., Hiba N. Rajha, H.N., Debs, E Saleh, F, El-Ghazzawi,I., Louka, N & Maroun, R.G. (2018). Comparative Study between Ethanolic and β -Cyclodextrin Assisted Extraction of Polyphenols from Peach Pomace, International Journal of Food Science, doi.org/10.1155/2018/9491681.
- [19] Rajha, H. N., Boussetta, N., Louka, N., Maroun, R. G., & Vorobiev, E. A . (2014). comparative study of physical pretreatments for the extraction of polyphenols and proteins from vine shoots. Food Research International, 65, 462-.864
- [20] Korompokis, K., Igoumenidis, P. E., Mourtzinos, I & Karathanos, V. T. (2017). Green extraction and simultaneous inclusion complex formation of *Sideritis scardica* polyphenols. International Food Research Journal, 24(3), 1233-1238.
- [21] Parmar, I., Sharma, S., & Rupasinghe, H.P.V . (2015). Optimization of β -cyclodextrine –base extraction from apple pomace using response surface methodology. Journal of food science & Technology, 52(4), 2202-2210.
- [22] Kalogeropoulos, N., Yannakopoulou, K., Gioxari, A., Chiou, A., & Makris, D. P. (2010). Polyphenol characterization & encapsulation in β -cyclodextrin of a flavonoid-rich Hypericum perforatum (St John's wort) extract, LWT - Food Science & Technology, 43, 882–889.

Improving bioavailability of pomegranate peel polyphenols by forming an inclusion complex with β -cyclodextrin (β -CD)

Kalantari, S.¹, Roufegarinejad, L.¹, Pirsa, S.^{2*}, Gharekhani, M.¹

1. Department of Food Sciences, Tabriz branch, Islamic Azad University, Tabriz, Iran

2. Department of Food Science and Technology, Faculty of Agriculture, Urmia University, Urmia, Iran

(Received: 2019/07/12 Accepted: 2019/08/24)

Due to environmental problems, safety, toxicity and adverse organoleptic properties of extracts with organic solvents for use in food systems, replacement of these methods with high efficiency aqueous extraction methods more than needed. In the present study, the efficacy of simultaneous application of aqueous solution of beta-cyclodextrin (β -CD) and ultrasound method to extract polyphenolic compounds from pomegranate peel was compared with that of aqueous extraction. The response surface method (RSM) was used to optimize extraction conditions. Designed experiments were done based on the Box-Behnken design with three independent variables, including temperature (30, 50 and 70 °C), time (10, 25 and 40 min) and concentration of β -CD solution (0, 0.9 and 1.8 %). The optimum extracting temperature and time and β -CD concentration were 55.7°C, 15.38 min, 1.8% respectively. In the optimum condition, the following characteristics of extracted bioactive compounds were obtained: Non-flavonoid phenols 75.77 (mgGAE/gDW) and extraction efficiency 42.81%. Inclusion complex formation was confirmed by differential scanning calorimetry (DSC) and Fourier transform infrared spectroscopy (FT-IR) and SEM. As a result of this study, aqueous β -CD and UAE as a safe method can be replaced with other extraction methods to improve the extraction of compounds with high nutritional value.

Keywords: β -Cyclodextrine, ultrasound, pomegranate peel, bioactive compounds, Non-flavonoid phenols

*Corresponding Author E-Mail Address: s.pirsa@urmia.ac.ir